

بررسی تاثیر کاهش محتوای GC در ناحیه N ترمینال ژن فاکتور رشد فیبروبلاستی بازی انسانی بر میزان بیان آن در باکتری اشریشیاکلی

مونا علی بلندی^{۱*}، حسن میرزا حسینی^۱

۱- بخش بیوتکنولوژی پزشکی، انتستیتو پاستور ایران

*نویسنده مسئول: مونا علی بلندی . بخش بیوتکنولوژی، انتستیتو پاستور ایران. mona.alibolandi@gmail.com

/: / / : / / :

چکیده

زمینه و هدف: توالی N-ترمینال ژن پروتئینهای نوترکیب تاثیر بالایی بر میزان بیان آنها در اشریشیاکلی دارد. در جهت بررسی این مهم، پرایمر طویلی را بمنظور بازآرائی ناحیه N-ترمینال ژن و کاهش محتوای GC طراحی نمودیم.

روش بررسی: ما pET-1006 (pET-22b) که در cDNA-hbfgf قرار داده شده را بعنوان الگو در اختیار داشتیم. کاهش درصد نوکلئوتیدهای GC در ناحیه N-terminal cDNA-hbfgf از Site توسط روش hbFGF Directed Mutagenesis با تغییر نوکلئوتیدها بدون تغییر در اسیدهای آمینه انجام شد. میزان بیان SDS-PAGE densitometry تولید شده توسط ژن موتانت و وحشی با استفاده از تکنیک های Western Blot و ELISA اندازه گیری شد.

یافته ها: نتایج بدست آمده نشان می دهد که میزان بیان hbFGF، توسط ژن موتانت در مقایسه با ژن وحشی افزایش یافته است. این اختلاف فاصله در میزان بیان ژن موتانت و وحشی را می توان به کارآمدی mRNA برای ترجمه ارتباط داد.

نتیجه گیری: این اختلاف نشان می دهد که کاهش محتوای GC در ناحیه N ترمینال، باعث کاهش پایداری ساختارهای ثانویه و تشدید ترجمه می گردد.

واژه های کلیدی: بازآرائی ژن، محتوای GC، بیان پروتئینهای نوترکیب، فاکتور رشد فیبروبلاستی بازی

مقدمه
موتوژنیک (angiogenic)، رگزایی (motogenic) و بقا (survival) در سلولها و بافت‌های مختلف می‌باشد. در نتیجه می‌توان دخالت این فاکتور را در بعضی پدیده‌های زیستی مثل مهاجرت، تمایز سلولی، بهبود زخمها، تومور (developmental processes) زایی و نیز مراحل نمو مشاهده کرد(۲) که البته هریک از این عملکردها وابسته به نوع سلول، ایزوفرم bFGF، نوع و تعداد گیرنده‌های سطح سلول و بسیاری عوامل داخل و خارج سلولی دیگر می‌باشد.

فاکتور رشد فیبروبلاستی ۲ یا FGF-2 و یا basic Fibroblast Growth Factor (bFGF) یک عامل رشد متصل به هپارین (heparin-binding) (hB) بوده که دارای ۵ ایزوفرم می‌باشد. یک ایزوفرم سیتوپلاسمی با وزن مولکولی ۱۸ KD و چهار ایزوفرم هسته‌ای با وزنهای مولکولی بالاتر (۲۲, ۲۲/۵, ۲۴, ۳۴ KD) آن تاکنون شناسایی شده‌اند(۱). این عامل رشد دارای نقشه‌های متعدد

روش بررسی
طراحی پرایمر

cDNA-hbfgf توسط ماساها رو سنو از دانشگاه اوکایاما ژاپن تهیه و ارسال شد. جهت کاهش محتوای site GC در ناحیه N ترمینال cDNA-hbfgf از تکنیک directed mutagenesis استفاده گردید. بدین ترتیب یک پرایمر برای انتهای ۵' cDNA-hbfgf طراحی شد. این پرایمر MIR-1GC نام گرفت و سفارش ساخت آن که کاهش درصد نوکلئوتیدهای GC را در ۵۰ نوکلئوتید ابتدایی از ۷۲٪ به ۵۲٪ دارا بود، به شرکت MWG آلمان داده شد.

MIR-1GC به گونه ای طراحی شد که درصد GC در ۲۰ کدون ابتدایی، از طریق تبدیل نوکلئوتید سوم کدون پاره ای از اسیدآمینه ها از G و A به C بدون تغییر در توالی اسیدآمینه کاهش یابد. در ابتدای این پرایمر سایت برش برای آنزیم *NdeI* طراحی شد (Forward primer) (Reverse primer) به طول ۳۰ نوکلئوتید برای انتهای ۳' Institute طراحی و سفارش ساخت آن به Bioorganic Chemistry-Moscow ابتدای این پرایمر نیز سایت برش برای آنزیم *BglIII* طراحی شد. با بکارگیری این پرایمرها و بعنوان الگو در طی پروسه PCR، ژن موتابت تولید گردید.

- توالی اولیه (۱۲ کدون ابتدای ژن یا ناحیه N ترمینال:

5'-ATG-CCC-GCC-TTG-CCC-GAG-GAT-GGT-GGA-TCG-GGC-GCC-ATC-3'

- توالی پرایمر جلورونده همراه با سکانس شناسایی آنزیم *NdeI* (Mir-1GC)

NdeI
↓

TACATATG-CCA-GCT-TTA-CCA-GAA-GAT-GGT-GGT-TCT-GGT-GCT-ATA-

- توالی پرایمر معکوس رونده همراه با سکانس شناسایی آنزیم *BglII*

تنها ژن *hbfgf* در باند q26-q27 کروموزوم ۴ شناسایی شده است و اندازه آن بیشتر از ۳۶ kb می باشد(۳ و ۴). این ژن حاوی ۳ اگزون می باشد که بواسیله ۲ اینترون ۱۶ kb و ۱۷/۵ kb از یکدیگر جدا شده اند(۵).

استفاده از bFGF (hbFGF) به عنوان یک عامل درمانی در بهبود بیماری Ischemic Cardiovascular بسیار امیدوارکننده بوده است. به علاوه پیشرفت‌های زیادی در مورد نقش این عامل رشد در ترمیم بافتها و بهبود گروهی دیگر از بیماریها مثل آلزایمر، پارکینسون به دست آمده است (۶ و ۷).

با وجودی که در ابتدا این عامل رشد از هیپوفیز گاو به دست آمد لکن تولید آن بواسیله بسیاری از انواع سلولها و بافت‌های گاو مثل مغز، هیپو تalamus، کلیه، تیموس و غده آدرنال به اثبات رسیده و از این بافت‌ها تخلیص شده است(۸).

اصولاً تهیه و تخلیص بسیاری از هورمونها یا سایتوکائینهای پیتیدی از منابع طبیعی غیرممکن یا فاقد صرفة اقتصادی می‌باشد لذا با ابداع و پیشرفت تکنیک‌های مهندسی ژنتیک، جهت‌گیری به سمت تولید محصولات نوترکیب افزایش یافته است. در این میان سایتوکاین FbFGF از این قاعده مستثنی نبوده و هم اکنون چند کمپانی در دنیا مشغول تولید این هورمون از طریق روش‌های نو ترکیب می‌باشند.

بطور کلی برای افزایش میزان تولید محصول یک ژن راههای متعدد پیشنهاد می‌شود که متداول‌ترین آنها عبارتند از: تعویض پرموتور، تغییر سکانس شروع ترجمه یا (ribosome binding site = جایگاه اتصال به ریبوزوم rbs)، لحاظ کردن Codon Usage (تغییر کدونها بر اساس tRNA غالباً در میکروارگانیسم حامل)، کاهش محتوای GC در ناحیه N ترمینال، حذف محدود کدونهای mRNA کمیاب، افزایش میزان پایداری ساختمان ثانویه مثلاً از طریق فیوز کردن ژن مربوطه با یکی از ژنهای میکروارگانیسم، افزایش تعداد پلاسمیدها، افزایش dosage، افزایش پایداری پلاسمیدها و بالاخره تهیه فیوژن پروتئین می‌باشند.

این مطالعه با هدف بهینه‌سازی بیان ژن *hbfgf* در باکتری اشتبه‌سیا کلی، از میان راههای فوق الذکر، تاثیر کاهش درصد نوکلئوتیدهای GC در ناحیه N ترمینال cDNA-*hbfgf* بر میزان ابراز آن، مورد ارزیابی قرار گرفت.

پلاسمید و ژن مورد نظر را غربالگری نمود(۹).

ساب کلونینگ pET-22b mutant *hbfgf*

برای ساب کلونینگ mutant *hbfgf* در پلاسمید بیانی pET-22b، ابتدا ساختار T-1008 تحت برش آنزیمی *Bgl*III بوسیله آنزیم های *Nde*I و *Bgl*III (خریداری شده از شرکت Takara) قرار گرفت تا به این وسیله ژن mutant *hbfgf* از آن خارج شود. همینطور پلاسمید (خیریداری شده از شرکت Novagen) نیز pET-22b تحت برش آنزیمی بوسیله دو آنزیم *Bam*HI و *Nde*I (خریداری شده از شرکت Takara) قرار گرفت. به دلیل هم خوانی داشتن سکانس آنزیم *Bgl*III با سکانس آنزیم *Bam*HI، انتهای ژن که واجد سکانس *Bgl*III می باشد با سکانس آنزیم *Bam*HI در pET-22b اتصال برقرار می کند، ولی بعد از اتصال این دو جایگاه به یکدیگر، هیچ کدام از دو آنزیم فوق الذکر قادر به برش این سکانس نمی باشند. واکنش اتصال بوسیله آنزیم *T₄* DNA لیگاز انجام و ساختار pET-1008 حاصل شد. جهت بررسی کلونینگ صحیح، این ساختار به داخل سلول های Top10f Trnsfporom گردید (۱۰).

بیان ژن موتانت و وحشی: به منظور بیان پروتئین نوترکیب باید ساختار pET-1008 را به سلول های *E. coli* ای که قادر به سنتز RNA پلیمراز فاژ *T7* هستند منتقل نمود و به مقایسه بیان ژن موتانت با ژن وحشی (cDNA) کلون شده در داخل pET-22b استفاده از Top10f Trnsfporom گردید. از همین منظور از سلول های pET-1006 از باکتری *Escherichia coli* ترنسفورم شده و برای بیان توسط IPTG القا شدند. پس از جمع آوری سلول ها بوسیله سانتریفیوز، عمل شکست سلولی بوسیله سونیکاسیون انجام و نمونه ها جهت SDS-PAGE، دنسیتومتری ژل SDS-PAGE، و سترن بلاستینگ (آنزیمهای اختصاصی شرکت Sigma) و الیزا (کیت الیزای اختصاصی hbFGF ساخت شرکت R&D) مورد

*Bgl*II



TACTATTAGATCTTGGCCATTAAAA
TCAGC

ساب کلونینگ **T-vector** mutant hbFGF در promega pGEM®-T Easy Vector خریداری شد. این وکتور توسط شرکت Promega بوسیله آنزیم EcoRV برش خورده و دارای نوکلئوتید ۳'OH آزاد در دو انتهای می باشد. درنتیجه می توان محصولات PCR تولید شده توسط آنزیم *Taq* Polymerase با آدنین آزاد در دو انتهای آن راحتی در داخل آن کلون نمود. این وکتور واجد پرومومتر بسیار قوی T7 می باشد بنابراین الزاما باید در داخل /شریشیاکلی ای T7 RNA Polymerase ترانسفورم گردد که دارای ژن *T7* برای رونویسی از ژنهای تحت کنترل پرومومتر *T7* باشد. همانند بسیاری از وکتورهای دیگر، در این پلاسمید نیز ژن مقاومت به آمپی سیلین تعییه شده تا در محیط کشت حاوی آمپی سیلین، فقط کلنی های واجد پلاسمید رشد نمایند. بدلیل استفاده از *Taq* Polymerase در این مطالعه، برای کلونینگ محصولات PCR T-Vector مناسب شناخته شد. بدین ترتیب با کمک آنزیم *T₄* DNA لیگاز (خریداری شده از شرکت Fermentas)، ژن موتانت *hbfgf* در T-vector قرار گرفت و ساختار T-1008 ایجاد شد. ساختار ایجاد شده به داخل سلولهای /شریشیاکلی مهندسی ژنتیکی شده Top10f (خریداری شده از شرکت Invitrogen) ترانسفورم گردید. این سویه از گونه کلی باسیل گرم منفی به منظور تکثیر پلاسمید مورد استفاده قرار گرفت که روی اپرون لاكتوز آن مهندسی ژنتیک صورت گرفته بطوری که قادر به تولید آنزیم بتا گالاکتوزیداز نمی باشد.

T-Vector حامل ژن کدکننده آنزیم بتا گالاکتوزیداز می باشد بنابراین با ترانسفورم شدن آن به داخل سلولهای Top10f، این سلولها آنزیم بتا گالاکتوزیداز را تولید خواهند نمود. به دلیل اینکه محل قرار گیری محصول PCR با سایت lacZ در همپوشانی دارد، قرار گرفتن ژن در T-vector lacZ مانع از بیان ژن خواهد شد بنابراین با استفاده از تکنیک α-

اگر ژن در داخل پلاسمید باشد، محصول هضم آنزیمی، یک قطعه bp 450 و یک قطعه bp 3000 می باشد. همانطور که در تصویر ۲ ملاحظه می شود ستون دوم واجد ژن موتابت می باشد که از داخل پلاسمید خارج شده و دو باند به اندازه های ذکر شده بر روی ژل حاصل شد.

هضم آنزیمی pET-1008 به منظور اثبات وجود ژن موتابت در داخل pET-22b

پلاسمیدهای سنگین تر از pET-22b، انتخاب شدند و بوسیله آنزیمهای *Bgl*III و *Hind*III برش خوردند. در صورت وجود ژن موتابت در داخل پلاسمید بیانی pET-22b یک قطعه bp ۶۸۳ همانند تصویر ۳ مشاهده می شود.

pET-1008 سکانس تقریبی ژن *hbfgf* در سکانس تقریبی ژن موتابت *hbfgf* در داخل ساختار pET-1008 جهت اطمینان از وجود و صحت آن توسط شرکت ژن فن آوران تعیین گردید. این توالی با توالی استاندارد ژن *hbfgf* و توالی پرایمر طراحی شده، توسط Bioedit و Coromas version2.1 نرم افزارهای بررسی و مقایسه شد و درستی توالی بدست آمده از ساختار pET-1008 تایید گردید. توالی زیر سکانس ژن *hbfgf* را در ساختار pET-1008 نشان می دهد.

```
AAGAAGGGAGATACAT
ATG CCA-GCT-TTA-CCA-GAA-GAT-GGT-GGT-TCT-GCT-ATT-CCG-CCC-
GGCCACTTCTCAAGGACCCCAAGCGGCTGTACTGCAAAAACGGGGCTTCTCCTGCATCCACCCGACGGCCGAGTTGA
CGGGGTCCGGGAGAAGAGCGACCCTCACATCAAGCTACAACCTCAAGCAGAAGAGAGAGGAGTTGTGTCTATCAAAGGAGT
GAGCGCTAACCGTTACCTGGCTATGAAGGAAGATGGAAGATTACTGGCTCTAAAGCGCTACGGATGAGTGTGTTCTTTTG
AACGATTGGAATCTAATAACTACAATACTTACCGGTCAAGGAAATACACCAGTTGGATGTGGACTGAAACGAACTGGCA
GTATAAACTTGGATCCAAAACAGGACCTGGGAGAAAGCTATACTTTCTCCAATGTCTGCTAAGAGC
TGA
```

مشاهده می شود میزان بیان hbFGF توسط ساختار pET-1008 به مراتب بالاتر می باشد.

نتایج بدست آمده از آنالیز باندها با استفاده از نرم افزار **Quany One** :

آنالیز نمونه ها بوسیله SDS-PAGE و دنسیتومتری ژل صورت گرفت . بنابراین ژل SDS-PAGE باستفاده از دستگاه **canner** و برنامه **Quany One** اسکن

استفاده قرار گرفتند تا میزان بیان پروتئین مورد نظر توسط این دو ساختار بررسی و با هم مقایسه شود.

یافته ها

گراییان PCR و ایجاد ژن موتابت: ساختار pET-22b cDNA-*hbfgf* ۱۰۰۶ که در طراحی شده طی پروسه PCR مورد استفاده قرار گرفتند. بوسیله شب دمایی که برای دمای اتصال (Annealing) و ژن موتابت ایجاد شد. محصولات PCR روی ژل آگارز ۱% بهمراه مارکر 1Kb DNA ladder شرکت فرمنتاز لود شد (تصویر ۱). قطعه bp 450 که تقریبا در تمامی دماها در شب دمایی تنظیم شده بوجود آمده، همان ژن موتابت hbFGF می باشد.

pGEM®-T Easy Vector

نتیجه انتقال ژن موتابت تخلیص شده از روی ژل pGEM®-T (محصول PCR) به داخل پلاسمید Easy Vector، ایجاد ساختار T-1008 وجود ژن در داخل پلاسمید، پلاسمید کلنی سفید بالاتر از پلاسمید کلنی آبی بر روی ژل متوقف می شود.

هضم آنزیمی T-1008 به منظور اثبات وجود ژن موتابت در داخل pGEM-T Easy Vector

بررسی بیان hbFGF بوسیله SDS-PAGE میزان hbFGF تولید شده توسط دو ساختار بیانی pET-1008 و pET-22b که حامل ژن وحشی و ژن موتابت hbFGF در داخل وکتور pET-22b می باشند، در سه سویه از اشیائیکلی شامل سلولهای BL21CodonPlus(DE3) و BL21(DE3)PlysS و OrigamiB(DE3) بوسیله تکنیک SDS-PAGE بررسی شد (تصویر ۴). همانطور که در تصویر

- BL21(DE3)PlySs/ pET-1006.....
۳۵ mg/L
- BL21CodonPlus(DE3)-RIL/pET1006.....
۱۳۰ mg/L
- OrigamiB(DE3) / pET-1008.....
۲۸۰ mg/L
- BL21(DE3)PlySs/ pET-1008.....
۷۰ mg/L
- BL21CodonPlus(DE3)-RIL/pET1008.....
۲۲۰ mg/L

نتایج حاصل از آزمون الایزا بیانگر تولید حدوداً ۲/۵ برابر فاکتور رشد فیبروبلاستی بازی توسط ساختار pET-1008 (حاوی ژن موتانت) می باشد که این افزایش بیان بسیار چشمگیر بوده و موفقیت بزرگی محسوب می شود.

بحث

در تحقیق حاضر تصمیم گرفته شد برای افزایش بیان GC در ناحیه hbFGF ، با کاهش درصد نوکلئوتیدهای GC در ناحیه Nترمینال cDNA این فاکتور رشد به مقایسه میزان بیان ژن موتانت و وحشی بپردازیم.

بدین منظور پرایمری برای ناحیه N ترمینال آن طراحی شد، به گونه ای که کاهش درصد نوکلئوتیدهای GC از ۷۲٪ به ۵۲٪ در آن درنظر گرفته شده بود. در طی پروسه PCR و با بکارگیری pET-1006 (pET-22b hbFGF منتقل شده به پلاسمید بیانی pET-22b) بعنوان الگو و پرایمر طراحی شده ، ژن موتانت ایجاد گردید. ژن موتانت نیز به داخل وکتور بیانی pET-22b منتقل شد.

تفاوت میزان بیان ژن موتانت و وحشی بسیار قابل توجه و معنی دار بود. به طوری که در بررسی ها توسط SDS-PAGE و وسترن بلازینگ عمالاً باند مشخصی برای محصول ژن وحشی مشاهده شد در حالی که در مورد ژن موتانت باندهای مربوطه بسیار مشخص تر و دارای شدت رنگ بالایی بودند. به علاوه نتایج آزمایش کمی الایزا نیز مؤید نتایج SDS-PAGE و وسترن بلازینگ بود و

(تصویر ۵) و با استفاده از همین نرم افزار دنسیتومتری شد. میزان تولید hbFGF توسط ساختارهای بیانی- pET-1008 و pET-1006 شرح ذیل می باشد:

- OrigamiB(DE3)/pET-1006 ۱۶٪ پروتئین سلوی
- BL21(DE3)PlySs/ pET-1006 ۴٪ پروتئین سلوی
- BL21CodonPlus(DE3)-RIL/pET1006..... ۲۰/۴٪ پروتئین سلوی
- OrigamiB(DE3) / pET-1008..... ۳۱٪ پروتئین سلوی
- BL21(DE3)PlySs/ pET-1008..... ۱۱٪ پروتئین سلوی
- BL21CodonPlus(DE3)-RIL/pET1008..... ۲۶٪ پروتئین سلوی

نتایج حاصل از دنسیتومتری بیانگر افزایش قابل توجه بیان (حدوداً ۲ برابر) ژن موتانت در مقایسه با ژن وحشی می باشد.

نتایج حاصل از Western Blot: پروتئین هایی که در مرحله قبل در داخل ژل SDS-PAGE به لحاظ اندازه از یکدیگر جدا شده بودند، بر روی کاغذ نیترو سلولز انتقال داده شدند. نتایج حاصل از وسترن بلازینگ در تصویر ۵ آمده است.

مقایسه میزان بیان پروتئین با استفاده از الایزا : با استفاده از آزمایش الایزا، که دارای حساسیت (sensitivity) بسیار بالاتری نسبت به تستهای SDS-PAGE و وسترن بلازینگ است، نتایج دقیق تری بدست آمد. در ابتدا با استفاده از ارقام بدست آمده از سنجش نمونه استاندارد OD₄₅₀ در غلظتها مختلف، یک منحنی استاندارد ترسیم گردید. سپس با قرار دادن OD₄₅₀ حاصله از هر یک از سوشها در منحنی استاندارد، عددی به دست آمد که با ضرب کردن آن در مخرج کسر رقت هر نمونه، مقدار هورمون برای هر یک مشخص شد.

- OrigamiB(DE3) / pET-1006 ۱۱۰ mg/L

ممکن است باعث کاهش تولید گرددند (۱۴).

در صورت غنی بودن GC در ناحیه N ترمینال، انرژی آزاد در این ناحیه پائین می‌رود و متعاقب آن، ساختارهای ثانویه پایدار و پیچیده‌ای ایجاد می‌شود که در طی مطالعات بسیار، با بازارآیی ژن هدف و تخریب این ساختارها، تاثیر منفی آنها بر میزان ابراز ژن هدف به اثبات رسیده است (۱۵). میزان بالای GC در ۵' ژن هدف، احتمال تشکیل ساختارهای ثانویه و خاتمه ترجمه را افزایش می‌دهد. بنابراین در این پژوهش با جهش‌های نقطه ای در ناحیه N ترمینال و تبدیل نوکلئوتیدها از C، G به T، A بدون تغییر در اسید آمینه‌های مربوطه سطح بیان بالاتری پیش‌بینی شد و نتیجه بدست آمده نیز مثبت بود و این فرضیه را تایید می‌نمود.

به عنوان شاهد این مدعای مطالعه‌ای، Devlin و همکارانش در سال ۱۹۸۸ با کاهش درصد GC در ناحیه N ترمینال ژن مربوط به G-CSF توانستند بیان پروتئین فوق را از میزان ناچیز به حدود ۱۷٪ کل پروتئین سلول برسانند (۱۶).

همین طور Ishida و همکارانش ژن leuB از باکتری *Thermos thermophilus* با درصد GC بالا با oligo nucleotide mutation استفاده از روش PCR، جهش‌هایی در سمت ۵' ژن ایجاد نمودند. این جهش‌های خاموش در جهت خراب شدن و بهم ریختن ساختارهای ثانویه یا سنجاق سری در ناحیه N ترمینال ژن بود، که منجر به افزایش ابراز آن در میزان بیانی E. coli شد (۱۷).

همچنین در سال ۲۰۰۳ Christian Heinz با کاهش درصد GC در کل ژن MspA از باکتری *Mycobacterium Smegmatis* بیانی E. coli را ۱۰ بار افزایش دادند (۱۸).

با وجود نظر تأییدی بعضی از محققین مبنی بر نقش Codon Usage در افزایش تولید برخی ژنهای، گروهی عامل ساختمان ثانویه mRNA را بسیار مؤثرتر و تعیین‌کننده‌تر در بیان ژنهای دانسته‌اند (۱۹-۲۲). به همین جهت در این پژوهش تنها عامل ساختمان ثانویه mRNA در نظر گرفته شد و تغییرات ایجاد شده در ژن موتابنت بر پایه کاهش درصد نوکلئوتیدهای GC در ناحیه

حاکی از تولید ۲/۵ برابر hbFGF نوترکیب توسط ساختار pET-1008 بود.

با توجه به اینکه تا مرحله بعد از رونویسی ژن (mRNA Transcription) از لحاظ نوع پرومотор، پلاسمید و سلول/شريشياکلي مشابه در نظر گرفته شده بود، این اختلاف فاحش در میزان بیان ژن موتابنت و ژن وحشی را می‌توان به طور تئوریک به دو عامل ارتباط داد (۱۱):

۱. تفاوت در پایداری mRNA یا تفاوت در نیمه عمر (half life).

۲. تفاوت در کارآمدی mRNA برای ترجمه (Efficiency of Translation).

باید توجه داشته باشیم که این دو ژن دارای سکانس متفاوت در ناحیه N ترمینال و در نتیجه mRNA های متفاوت می‌باشند. تفاوت در سکانس mRNA الزاماً منتج به تفاوت در ساختمان ثانویه (Secondary Structure) mRNA و نیز تفاوت در حساسیت این ساختمانهای ثانویه به اگزونوکلئازها می‌گردد.

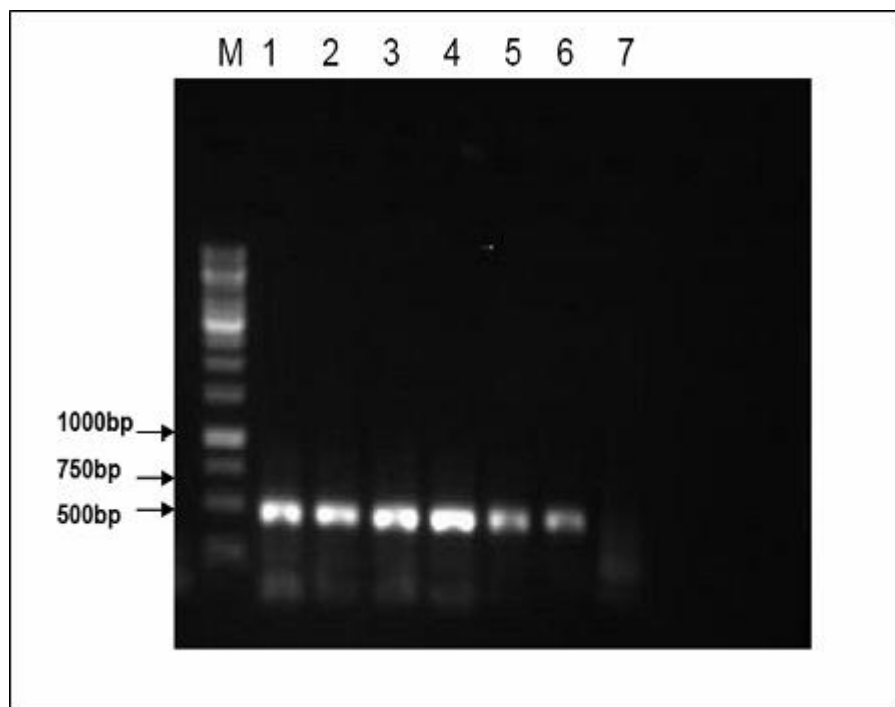
به طور طبیعی mRNA ها در هر نوع سیستم پروکاریوتی یا یوکاریوتی دارای نیمه عمرهای متفاوت می‌باشند. تفاوت در ساختمان ثانویه mRNA و در نتیجه استعداد تخریب آنها به وسیله نوکلئازها در این زمینه تعیین کننده است (۱۲).

عامل دوم یعنی اختلاف در کارآمدی mRNA ها برای ترجمه نیز در واقع ارتباط نزدیکی با عامل اول دارد. به طور کلی قسمتی از ناحیه ۵' هر mRNA که به هنگام ترجمه به ریبوزوم S ۳۰ متصل می‌شود (حدود ۱۵ + تا ۲۰-) در کارآمدی mRNA بسیار نقش دارد (۱۳).

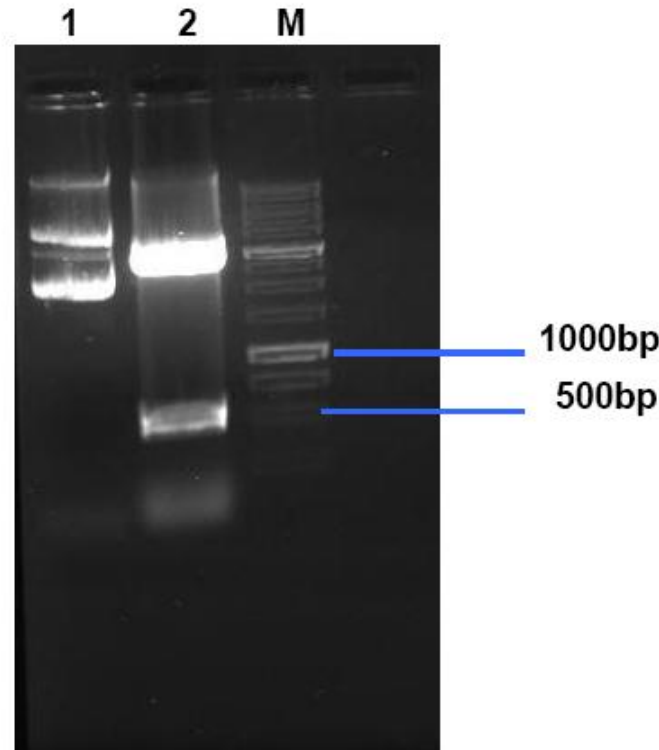
هر چقدر این ناحیه mRNA دارای تمایل بیشتری به ۳۰ S باشد از یک طرف باعث افزایش اتصال ریبوزوم‌ها بطور متوالی به mRNA می‌شود (تشکیل پلی ریبوزوم‌ها بطور متوالی به mRNA را از دسترس اگزونوکلئازها دور نگه می‌دارد و در نتیجه می‌توان تولید محصول بیشتر را انتظار داشت. به علاوه اینکه ایجاد ساختمان‌های ثانویه به هم پیچیده‌تر و پایدارتر به خصوص در ناحیه شاین دالگارنو و ناحیه ۵' mRNA از یک سو می‌تواند با کاهش دادن دسترسی نوکلئازها باعث افزایش تولید شود و از سوی دیگر با مشکل کردن اتصال ریبوزوم‌ها به توالی

نتیجه گیری
نتایج به دست آمده نشان دهنده تاثیر مثبت جهش های
خاموش ایجاد شده درجهت افزایش انرژی آزاد در ناحیه '
از mRNA ۵ می باشد که با ناپایدار نمودن ساختارهای
ثانویه در این ناحیه موجب تشديد ترجمه و افزایش میزان
بيان پروتئين هدف شده است.

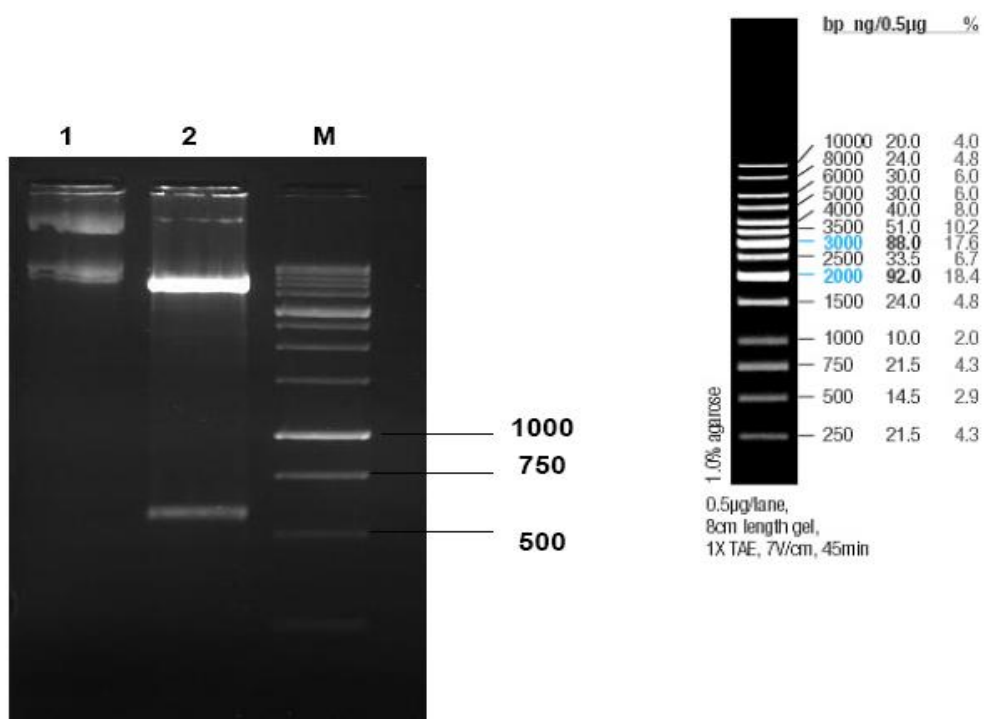
Nترمینال بدون توجه به کاربری (usage) این کدونها در
میزبان بیانی صورت گرفت.



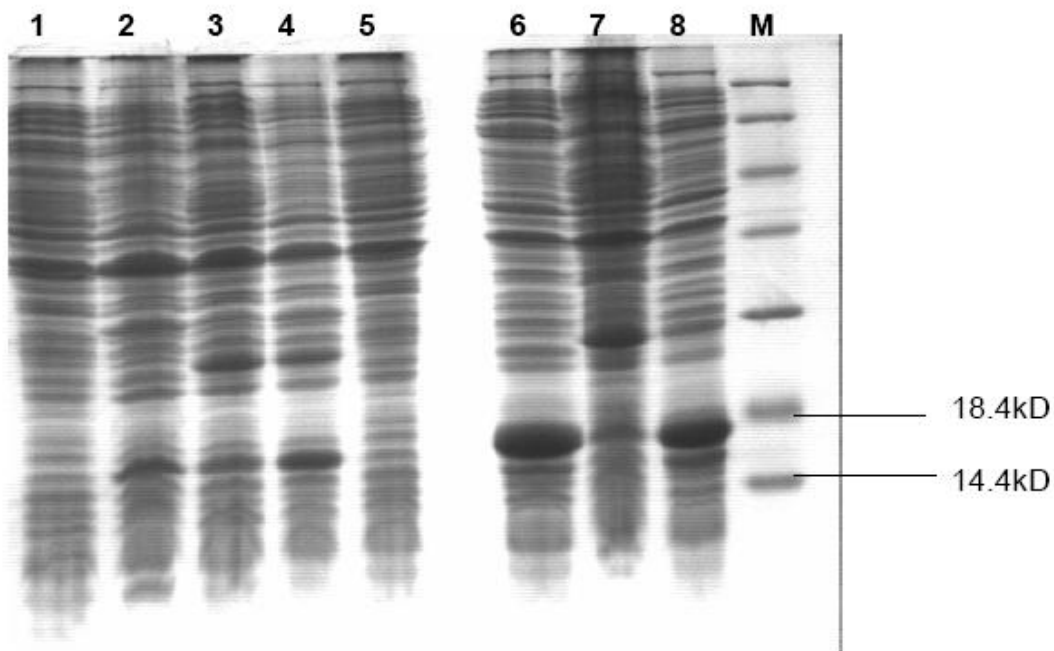
:	Mir-1GC	(Annealing) PCR	%	:		
70 °C	:	67.2 °C	:	63.9 °C	60 °C	::	59 °C
(1 kb DNA ladder)		DNA	:M ;		;	71.5°C	:



: M *EcoRI* : : ((1 kb DNA ladder) DNA



HindIII *BglIII* pET-1008 : pET-1008 : : ((1 kb DNA ladder) DNA : M .



(SDS-PAGE 18%) :

pET-1006[OrigamiB(DE3)](Positive):

pET-1006[OrigamiB(DE3)] (Negative):

pET-1006[BL21(DE3)PlySs](Positive) :

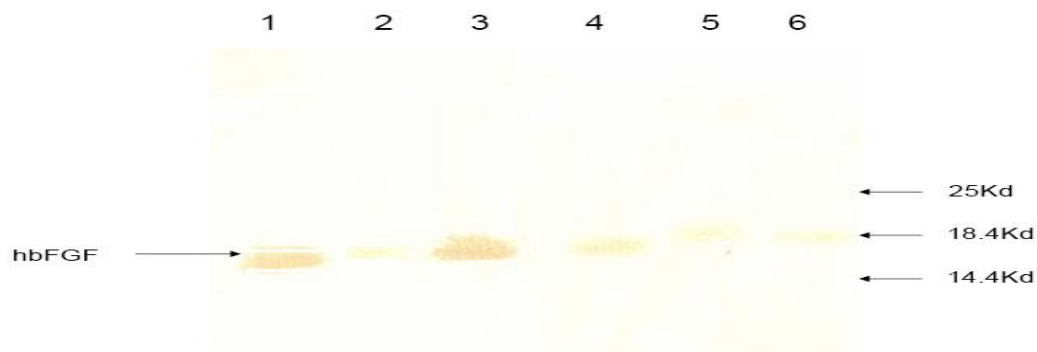
: pET-1006[BL21CodonPlus(DE3)-RIL](Positive) :

pET -1008[OrigamiB(DE3)](Positive) :

pET1008[BL21CodonPlus(DE3)-RIL :

pET-1008[BL21(DE3)PlySs](Positive) :

(cat no# SM0453) :



pET-1008 : pET-1008 [OrigamiB(DE3)] : (

pET1008 [BL21CodonPlus(DE3)-RIL] : [BL21(DE3)PlySs]

pET-1006[BL21(DE3)PlySs] : pET-1006 [OrigamiB(DE3)] :

pET1006 [BL21CodonPlus(DE3)-RIL] :

Reference

- 1- Okada-Ban M, Thiery JP, Jouanneau J. Fibroblast growth factor-2. *Int J Biochem Cell Biol.* 2000 ; 32(3):263-267.
- 2- Ornitz DM, Zhang X, Ibrahim OA, Olsen SK, Umemori H, Mohammadi M. Receptor specificity of the fibroblast growth factor family. *The American Society for Biochemistry and Molecular Biology.* 1996; 271(25): 15292 – 15297.
- 3- Mergia A, Eddy R, Abraham JA, Fiddes JC, Shows TB. The genes for basic and acidic fibroblast growth factor are on different human chromosomes. *Biochem. Biophys. Res. Commun.* 1986; 138: 644-651.
- 4- Lafage-Pochitaloff M, Galland F, Simonetti J, Prats H, Mattei MG, Birnbaum D. The human basic fibroblast growth factor
- 9- basic fibroblast growth factors (bFGFs) in *Escherichia coli*. *Gene.* 1989; 75: 21-30.
- 10- Primrose SB, Twyman RM, Old RW. *Principle of gene manipulation.* 6th Edition, Blackwell publishing. 2002; 34-35.
- 11- Sambrook J , Russell DW. Chapter 1. *Molecular cloning laboratory manual.* Third edition. 2001; 116-118.
- 12- Thomas G, Von Gabian A, Nilsson G, Andersson M, Lundstrom M, Lund B, Lundgren E. Expression of an interferon- α gene variant in *E.coli* using tandemly repeated synthetic ribosomal binding sites. *DNA.* 1987; 6 (1): 41-46.
- 13- Nivinskas R. Post-transcriptional control of bacteriophage T4 gene 25 expression: mRNA secondary structure that enhances translational initiation. *J Mol Biol.* 1999; 7;288(3): 291-303.
- 14- Morita M, Kanemori M, Yanagi P. Heat-induced synthesis of Q32 in *E.coli*: Structural and functional dissection of *rpoH* mRNA secondary structure. *J. Bacteriology.* 1999; 81 (2): 401-410.
- 15- Gross G, Hollatz I. Coliphage lambda to terminator lowers the stability of mRNA in *E.coli* hosts. *Gene.*1988; 10; 72 (1-2): 119-128.
- 16- Zhang W, Xiao W, Wei H, Zhang J, Tian Z. mRNA secondary structure at start AUG codon is a key limiting factor for human protein expression in *Escherichia coli*. *Biochemical and Biophysical Research Communications.* 2006; 349: 69-78
- 17- Devlin PE, Drummond RJ, Toy P, Mark DE, Watt KW. Alteration of amino-terminal codons of human granulocyte-colony-stimulating factor increases expression levels and
- gene is located on the long arm of chromosome 4 at bands q26-q27. *Oncogene Res.* 1990; 5: 241-244.
- 5- Abraham JA . Human basic fibroblast growth factor: nucleotide sequence and genomic organization. *EMBO J.* 1986; 5: 2523-25 28.
- 6- Abe K , Saito H. Effects of basic fibroblast growth factor on central nervous system functions. *Pharmacological Research,* 2001; 43(4): 307-312.
- 7- Faktorovich, EG, Steinberg RH, Yasumura D, Matthes MT, LaVail MM. Photoreceptor degeneration in inherited retinal dystrophy delayed by basic fibroblast growth factor. *Nature,* 1990; 347: 83-86.
- 8- Knoerzer W, Binder H, Schneider K, Gruss P, McCarthy J. Expression of synthetic genes encoding bovine and human allows efficient processing by methionine aminopeptidase in *Escherichia coli*. *Gene.* 1988; 65(1): 13-22
- 18- Ishida M, Oshima T. Overexpression of genes of an extreme thermophile *Thermus thermophilus* in *Escherichia coli* Cells. *Journal of Bacteriology.* 1994;176(9): 2767-2770.
- 19- Heinz C, Karosi S, Niederweis M. High-level expression of the mycobacterial protein *MspA* in *Escherichia coli* and purification of the recombinant protein. *Journal of Chromatography B, Analytical Technologies in the Biomedical and Life Sciences.* 2003; 790(1): 337-348
- 20- Gross G, Mielke C, Hollatz I, Blocker H, Frank R. RNA primary sequence or secondary structure in the translational initiation region controls expression of two variant interferon - β genes in *E.coli*. *J. Biol. Chem.* 1990; 265: 17627-17636.
- 21- Spanjaard RA, Van Dijk, MC, Turion AJ, Van Duin J. Expression of the rat interferon-alpha 1 gene in *E.coli* controlled by the secondary structure of the translation - initiation region. *Gene.* 1989; 15; 80 (2): 345-351.
- 22- Milev PV, Georgiev OI, Tzarnoretschi PO, Hadjiolov AA. Cloning and high level expression of a synthetic gene for human basic fibroblast growth factor. *Journal of Biotechnology.* 1992; 22: 299-310.
- 23- Schmidt M, Viaplana E, Hoffmann F, Marten S, Villaverde A, Rinas U. Secretion-dependent proteolysis of heterologous protein by recombinant *Escherichia coli* is connected to an increased activity of the energy-generating dissimilatory pathway. *Biotechnology and Bioengineering.* 1999; 66(1): 61-67.